

Caducidade em Idosos

Camille Menezes, Jeff Caponero e Michel Miler

Sumário

Introdução	1
Análise descritiva	1
Modelo	2
Resultados Inferenciais.	4
Estimativas pontuais	4
Discussão dos resultados	4
Função Desvio	4
Gráficos	4
Análise Residual.	5
Observações Atípicas	6

Introdução

Cinquenta e quatro indivíduos considerados idosos são submetidos a um exame psiquiátrico para avaliar a ocorrência ou não de sintoma de caduquice. (Agresti, 1990, pgs. 122-123). Acredita-se que o escore obtido num exame psicológico feito previamente esteja associado com a ocorrência ou não do sintoma. Este trabalho propõe um modelo de regressão logística para estudar esta relação.

Análise descritiva

Conduziu-se uma análise descritiva dos dados, com objetivo de entender um pouco mais as variáveis consideradas.

Tabela 1: Estatísticas-resumo para a variável score dos idosos com ou sem caducância

	Min	Q1	Median	Mean	Q3	Max	Std.Dev	CV	Skewness	Kurtosis
Com Caducância	4	7	8,5	8,93	11	14	3,17	0,36	0,26	-1,21
Sem Caducância	4	10	13,0	12,50	15	20	3,46	0,28	-0,08	-0,24

Na Tabela 1, é possível observar que a média dos scores para os idosos com caducância é menor do que para os sem caducância. A média e a mediana para ambos cenários aparentam estar bem próximas entre si, além da métrica de simetria estar próxima de zero, indicando que a distribuição dos scores é simétrica para os idosos com ou sem caducância. Para a curtose, é notável que a distribuição dos scores para os idosos com caducância é mais platicúrtica que para os idosos sem caducância.

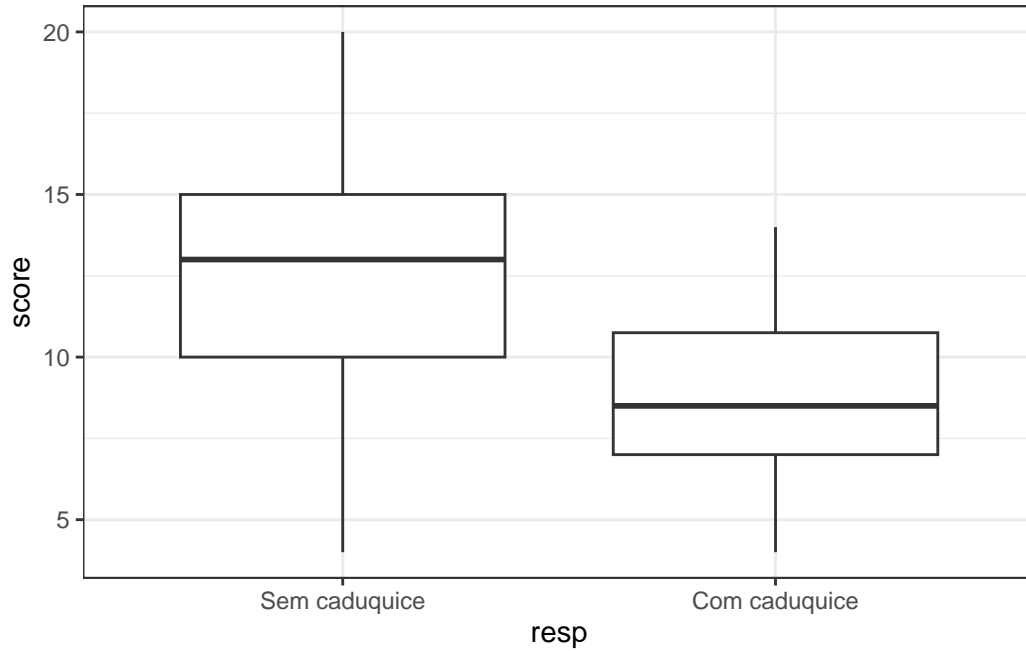


Figura 1: Boxplot para a variável score dos idosos com ou sem caducância

Através dos boxplots da Figura 1, é possível observar que para os idosos sem caducância, existe uma maior variabilidade dos scores abaixo da mediana, enquanto que para os scores dos com caducância há uma variabilidade maior entre a mediana e o terceiro quartil. Tanto pela Tabela 1 quanto pela Figura 1, já é possível notar que há uma tendência a qual menores scores estão mais associados com idosos com caducância.

Modelo

Queremos analisar como o valor do score obtido no exame psicológico impacta na chance de idoso apresentar caducância ou não. Desse modo, o modelo a ser definido será o modelo MLG binomial com função de ligação logito, então sendo Y_i a variável que indica se o idoso “i” apresenta caducância ou não, temos que

- $Y_i \sim \text{Binomial}(1, \mu_i)$
- $\log\left(\frac{\mu_i}{1-\mu_i}\right) = \alpha + \beta x_i$

onde

- x_i é a variável score
- $\frac{\mu_i}{1-\mu_i}$ é a chance «««< HEAD
- α é o efeito escalar no logarítmo da chance do idoso apresentar caducância
- β é efeito no logarítmo da chance do idoso apresentar caducância quando uma unidade é adicionada na variável score
- $exp(\beta)$ é efeito na razão da chance do idoso apresentar caducância quando uma unidade é adicionada na variável score
- α é o efeito escalar no logarítmo da chance do idoso apresentar caducância ou não.
»»»> 9610b2c6020a17eaaccde81bc345be04f935dda2

Com base nos dados é possível avaliar um modelo de regressão logístico.

Tabela 2: Resultados para o modelo com função de ligação logito.

	Estimativa	EP	Est. z	Pr(> z)
Intercepto	2,4040	1,1918	2,0171	0,0437
Score	-0,3235	0,1140	-2,8385	0,0045

Tabela 3: Resultados para o modelo com função de ligação probito.

	Estimativa	EP	Est. z	Pr(> z)
Intercepto	1,3862	0,6853	2,0228	0,0431
Score	-0,1880	0,0630	-2,9841	0,0028

Tabela 4: Resultados para o modelo com função de ligação cauchy.

	Estimativa	EP	Est. z	Pr(> z)
Intercepto	3,3266	1,8072	1,8407	0,0657
Score	-0,4212	0,1984	-2,1234	0,0337

Os modelos apresentados nas Tabelas 2, 3 e 4 são bastante similares. Uma comparação mais acurada dos modelos pode ser verificada a partir dos valores de AIC atingidos. A Tabela 5 mostra esses valores.

Tabela 5: Valores de AIC dos modelos para cada função de ligação.

Função	AIC
Logito	55.0174
Probit	54.9836
Cauchy	55.1573

Desta forma, verifica-se que a diferença entre os modelos é bastante sutil e não há necessidade de se valer de uma função de ligação diferente da canônica para explicar os dados. Assim a função de ligação logito é preferível dentre as demais.

Resultados Inferenciais.

Estimativas pontuais

Com base no modelo escolhido é possível estimar os valores de β e ϕ para o modelo.

Os valores estimados foram de $\alpha = -0.2625$ e de $\beta_1 = 0.1159$. Com 3 iterações obteve-se a precisão de 10^{-6} .

Discussão dos resultados

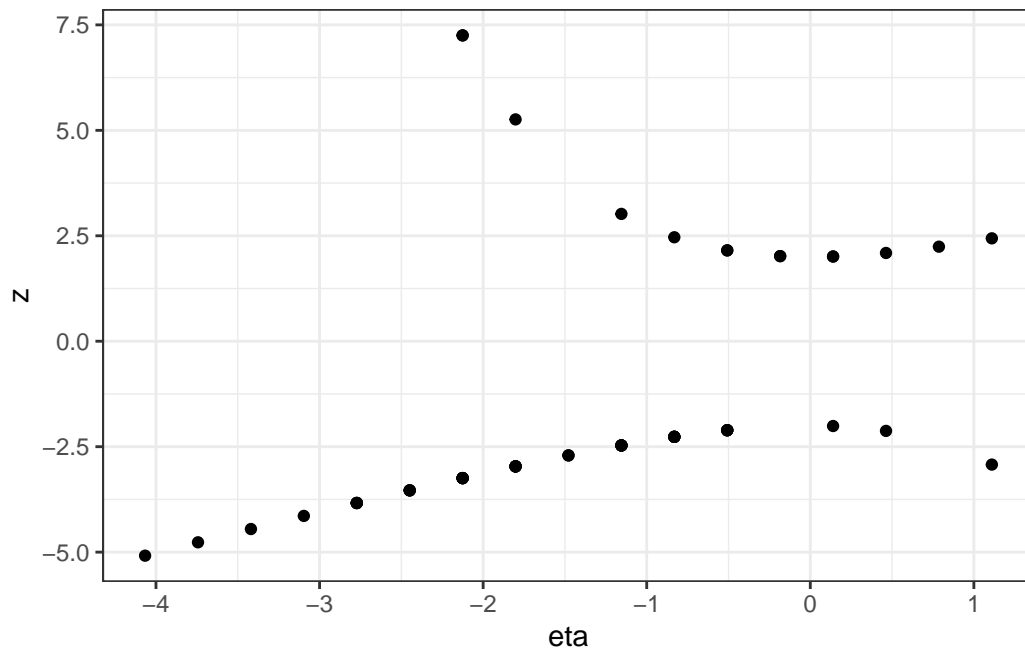
Interpretação dos resultados.

Função Desvio

Interpretação da função desvio. Compare o valor da função desvio com a estatística qui-quadrado e interprete o resultado do teste de hipótese.

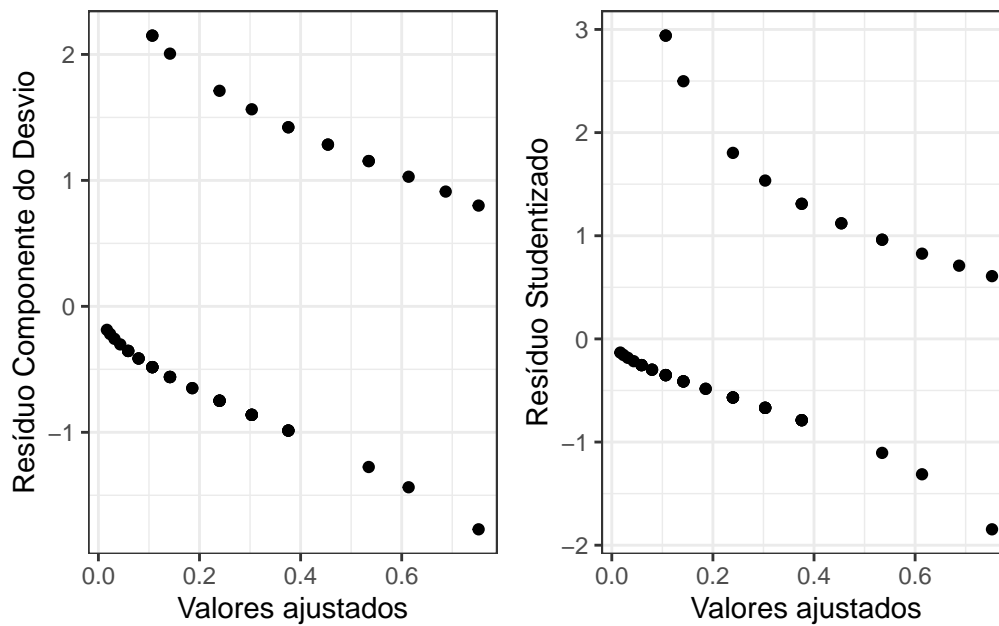
Gráficos

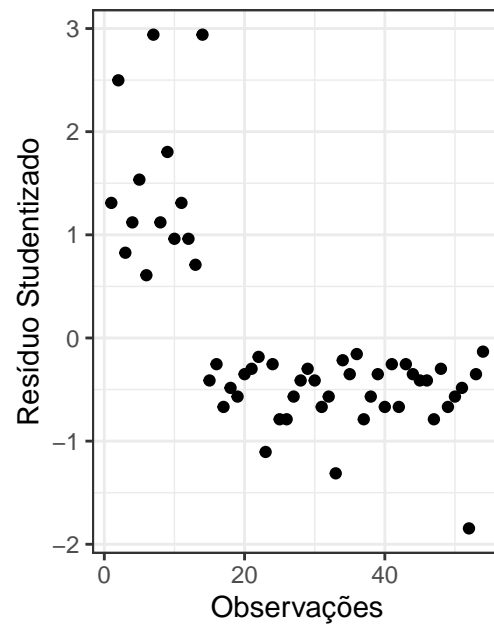
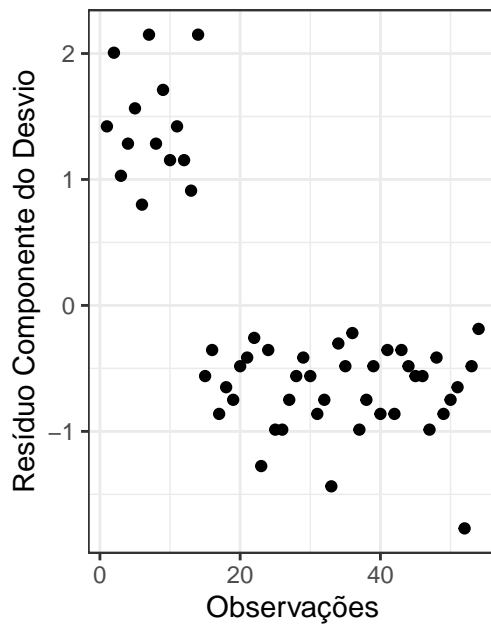
Apresente o gráfico da função de distribuição acumulada logística (veja Aula prática III - dados turbine). Plote o gráfico de \hat{z} versus $\hat{\eta}$ e comente sobre as evidências de adequabilidade da função de ligação.



Análise Residual.

Considerando os resíduos Studentizado (tsi) padronizado e o componente do desvio padronizado (tdi) apresente os seguintes gráficos tsi, tdi versus valores ajustados, tsi , tdi versus valores observados e os respectivos gráficos do envelope simulado.

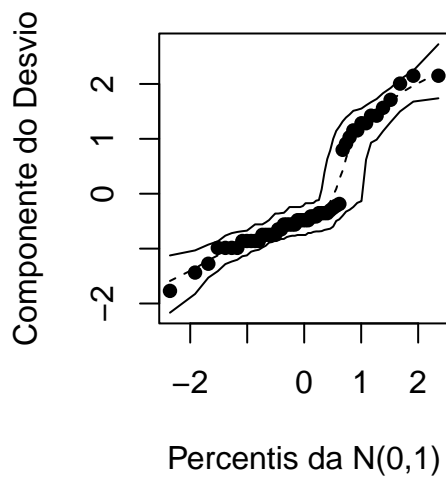




Observações Atípicas

Identifique as observações atípicas. Comente cada gráfico.

Normal Q-Q Plot



Normal Q-Q Plot

